



مدل سازی دینامیکی ربات های زمینی و فضایی در حالت زنجیر باز بر اساس فرمی از معادلات بولتزمان - هامل

عبدالمجید خوشنود^{۱*}، اسحاق آزاد^۲، سید محمدامین رضوی^۳

۱- استادیار، مهندسی هوافضا، دانشگاه صنعتی خواجه نصیرالدین طوسی، تهران

۲- دانشجوی کارشناسی ارشد، مهندسی هوافضا دینامیک پرواز و کنترل، دانشگاه صنعتی خواجه نصیرالدین طوسی، تهران

۳- دانشجوی کارشناسی ارشد، مهندسی هوافضا دینامیک پرواز و کنترل، دانشگاه شهید بهشتی، تهران

*تهران، صندوق پستی ۱۶۵۶۹-۸۳۹۱۱

khoshnood@kntu.ac.ir

چکیده

در این مقاله، فرمی متفاوت از فرم متدائل معادلات بولتزمان- هامل (معادلات لاغرانژ برحسب شبه مختصات) استخراج گردیده و براساس آن الگوریتمی جامع جهت مدل سازی دینامیکی ربات های زمینی و فضایی، با تعداد دلخواه عضو صلب در حالت زنجیر باز، ارائه شده است. این فرم از معادلات بولتزمان - هامل، در عین پرهیز از پیچیدگی های فرم متدائل، دارای مزایای قابل توجهی است که از جمله اینها می توان به عدم نیاز به تشکیل انرژی جنبشی به صورت تابعی از مختصات تعیین یافته و شبه سرعتها، بیان نیروهای تعیین یافته برحسب بردارهای پایه ای بدین اجزای سیستم و ارائه تصویری واضح از دینامیک سیستم اشاره نمود. در مسیر استخراج الگوریتم مذکور، معادلات حرکت یک جسم صلب یکبار با استفاده از فرم ارائه شده و بار دیگر با استفاده از فرم متدائل معادلات بولتزمان - هامل به دست آمده که از مقابسه ای آنها سه اتحاد سینماتیکی کاربردی اثبات گردیده و از آنها در مدل سازی دینامیکی استفاده شده است. بهمنظور آشنازی با نحوه استفاده از الگوریتم ارائه شده، مدل دینامیکی یک ربات دو لینکی زمینی به صورت گام به گام بدست آمده است. در نهایت نتایج شبیه سازی ربات دو لینکی در نرم افزار متلب، به ازای مقادیر عددی، با نتایج بدست آمده از مدل سیستم در نرم افزار آدامز، مقایسه و صحت آن محرز گردیده است.

اطلاعات مقاله

مقاله پژوهشی کامل

دریافت: ۱۹ دی ۱۳۹۴

پذیرش: ۰۵ فوریه ۱۳۹۵

ارائه در سایت: ۳۰ خرداد ۱۳۹۵

کلید واژگان:

معادلات بولتزمان - هامل

شبه مختصات

ربات های زنجیر باز

ربات های فضایی

ربات های زمینی

Dynamics modeling of open-chain terrestrial and space robots using a form of Boltzmann-Hamel equations

Abdol Majid Khoshnood^{1*}, Es'hagh Azad¹, Seyed Mohammad Amin Razavi²

1- Faculty of Aerospace Engineering, Khaje Nasir Toosi University, Tehran, Iran

2- Faculty of New Technologies Engineering, Shahid Beheshti University, Tehran, Iran

*P.O.B. 16569-83911, Tehran, Iran, khoshnood@kntu.ac.ir

ARTICLE INFORMATION

Original Research Paper

Received 09 January 2016

Accepted 24 March 2016

Available Online 19 June 2016

Keywords:

Boltzmann-Hamel equations

Quasi-coordinates

open-chain robots

space robots

terrestrial robots

ABSTRACT

In this article, a form of Boltzmann-Hamel equations (Lagrange's equations in terms of quasi-coordinates), different from the latter's standard form and avoiding its structurally inherent complexity, is derived based on which a general algorithm for the dynamics modeling of open-chain terrestrial and space robots with an arbitrary number of rigid elements is presented. This form of Boltzmann-Hamel equations is shown to be particularly advantageous in terms of not requiring the determination of the kinetic energy as a function of generalized coordinates and quasi-velocities, representing generalized forces in terms of body basis vectors and offering a panoramic view of the dynamics of the systems. In the act of developing the algorithm, three highly useful kinematic identities are derived via comparison between the single rigid body equations derived from both the standard and the proposed form of Boltzmann-Hamel equations. These identities are then used to considerably simplify the final dynamics model of both systems. Finally, the equations of motion for a two-link terrestrial robot is derived using the proposed algorithm and simulation results in MATLAB are compared with the model of the system in ADAMS to validate the model.

جامع برای مدل سازی یک سیستم مکانیکی با درجه ای آزادی دلخواه و آرایش هندسی معلوم، نسبت به روش های پیشرفته تر مدل سازی با سختی بیشتری همراه خواهد بود. برای نمونه، در مدل سازی با استفاده از معادلات نیوتون - اویلر، به علت احتساب نیروهای قیدی و نیروهای داخلی بین اجزای سیستم، تعداد مجهولات و تبعاً تعداد معادلات حرکت از تعداد درجات آزادی سیستم

از جمله چالش برانگیزترین مسائل در مدل سازی سیستم های مکانیکی پیچیده، با استفاده از روش های معمول همچون معادلات نیوتون - اویلر و معادلات استاندارد لاغرانژ، حجم محاسباتی است که با افزایش درجات آزادی سیستم، به یک روئند طاقت فرسا می انجامد؛ به طوری که پی ریزی یک الگوریتم

Please cite this article using:

A. M. Khoshnood, E. Azad, S. M. A. Razavi, Dynamics modeling of open-chain terrestrial and space robots using a form of Boltzmann-Hamel equations, *Modares Mechanical Engineering*, Vol. 16, No. 6, pp. 127-137, 2016 (in Persian)

برای ارجاع به این مقاله از عبارت ذیل استفاده نمایید:

استفاده از معادلات بولتزمان - هامل در اثر پژوهشی جهرمی [6] انجام شده است.

کمرون و بوک [7]، با استفاده از معادلات بولتزمان - هامل، نحوه استخراج مدل دینامیکی مکانیزم‌ها با مفاصل غیرهولونومیک را از طریق حل چند مثال نشان داده‌اند. در این مقاله ثابت شده است که برخلاف معادلات لگرانزی که در آن مسئله‌ی ظاهر شدن و سپس حذف ضرایب لگرانزی به وجود می‌آید، استفاده از معادلات بولتزمان - هامل به طور خودکار از وارد شدن مجهولات اضافی در معادلات نهایی حرکت جلوگیری می‌کند.

در مرجع [8]، ترنر در مسئله‌ی شبیه‌سازی وسایط نقلیه‌ی زمینی با سرعت زیاد از معادلات بولتزمان - هامل استفاده نموده است.

سیبیلسکی و زیلوک [9]، روند مدل‌سازی وسایط نقلیه‌ی هوایی و به‌طور خاص هوایپما و هلیکوپتر را با استفاده از روش‌های دینامیک چندگسمی از جمله معادلات بولتزمان - هامل شرح داده و مزایا و معایب انواع روش‌ها را بررسی نموده است.

در مرجع [10]، تalamوچی مسئله‌ی تأثیر انواع انتخاب‌های ممکن از شبه سرعت‌ها در مدل‌سازی دینامیکی سیستم‌های غیرهولونومیک با استفاده از معادلات بولتزمان - هامل را مورد بررسی قرار داده و با ابداع و اعمال یک روش جبری، تأثیر انتخاب مناسب شبه‌سرعت‌ها در ساده‌سازی ریاضیات مرتبط با مدل‌سازی دینامیکی را نشان داده است.

خوشبند و مرادی [11]، با استفاده از ترکیبی از معادلات استاندارد لگرانزی و معادلات لگرانزی برحسب شبه مختصات، معادلات حرکت یک ماهواره شامل یک قسمت صلب مکعب شکل و دو صفحه‌ی خورشیدی انعطاف‌پذیر را استخراج و براساس آن یک کنترل برای کاهش دامنه‌ی ارتعاشات اجزای انعطاف‌پذیر طراحی نموده‌اند.

در مرجع [12]، ماروسکین و بلاخ فرم خاصی از معادلات بولتزمان - هامل را استخراج نموده و از آن در طراحی کنترل بهینه سینماتیکی و دینامیکی سیستم‌های مکانیکی با قیود غیرهولونومیک استفاده نموده‌اند.

مینگلو و همکاران [13]، با استفاده از روش کین⁴ معادلات حرکت یک سیستم مکانیکی صفحه‌ای شامل تعداد دلخواه میله‌ی صلب در حالت زنجیرباز را استخراج نمودند.

2- استخراج معادلات بولتزمان - هامل از معادلات لگرانزی به کمک حساب دیفرانسیل ماتریسی

در مراجع [2, 3]، فرم عمومی و نسبت پیچیده‌ی معادلات بولتزمان - هامل به صورت مؤلفه به صورت یک معادله‌ی ماتریسی (جبر اسکالر و حساب دیفرانسیل چند متغیره) استخراج و سپس به صورت یک معادله‌ی ماتریسی بیان شده است. با این وجود، استفاده از ایده‌ی اولیه‌ی معادلات بولتزمان - هامل موسوم به مفهوم شبه‌مختصات و شبه‌سرعت‌ها و تلاش در استخراج دوباره‌ی آن، صرفاً به فرم ماتریسی، به معادله‌ای منجر خواهد شد که در این مقاله از آن استفاده شده است. در ادامه، نشان خواهیم داد که حداقل در مورد سیستم‌های دینامیکی مورد بررسی در این مقاله، این فرم از معادلات بولتزمان - هامل نسبت به فرم متداول آن به روند مناسب‌تری در مدل‌سازی دینامیکی می‌انجامد و لذا نه تنها نیازی به پرداختن به جزئیات فرم متداول وجود ندارد بلکه از پیچیدگی‌های غیرضروری آن نیز پرهیز می‌شود. معادلات لگرانزی برای یک سیستم مکانیکی m درجه آزادی و بهارای مختصات تعمیم‌یافته‌ی مستقل (افقان قیود جبری و دیفرانسیل بین مختصات) عبارت است از:

⁴ Kane's Method

بیشتر خواهد بود. در چنین شرایطی مسئله‌ی حذف جبری این نیروها اجتناب‌ناپذیر بوده و حل معادلات نهایی را پیچیده می‌کند. از طرف دیگر، فرم استاندارد معادلات لگرانزی که در مورد سیستم‌های غیرهولونومیک¹ و در حالت مختصات تعمیم‌یافته‌ی مستقل به کار گرفته می‌شود، نیروهای قیدی و نیروهای داخلی (در حالتی که جابه‌جایی آن‌ها روی دو جسم یکسان باشد) را در مدل‌سازی دینامیکی وارد نمی‌کند و لذا از این حیث نسبت به معادلات نیوتون-اویلر ارجحیت دارد. با این وجود، معادلات لگرانزی نیز دارای معایبی هستند که به‌طور خاص با افزایش درجات آزادی سیستم آشکار می‌شوند. در چنین شرایطی انرژی جنبشی که بایستی به‌صورت تابعی از مختصات تعمیم‌یافته و سرعت‌های تعمیم‌یافته به دست آید به طرز کنترل نشده‌ای بزرگ می‌شود و لذا مشتق‌گیری‌های جزئی و زمانی به محاسباتی الگو ناپذیر و طاقت‌فرسا منتهی می‌گردد. به‌علاوه، نیروهای تعمیم‌یافته با پیچیده شدن سیستم به‌سختی محاسبه می‌شوند. در این میان، معادلات بولتزمان - هامل با پرهیز از معایب روش‌های نیوتون-اویلر و لگرانزی به‌طور همزمان، ابزار قدرتمندی در مدل‌سازی دینامیکی سیستم‌های پیچیده به‌حساب می‌آید. ایده‌ی اساسی این معادلات بر مفاهیم شبه مختصات² و شبه سرعت‌ها³ استوار است. با استفاده از این مفاهیم، انرژی جنبشی برخلاف روش لگرانزی برحسب مختصات تعمیم‌یافته و شبه سرعت‌ها به دست آمده و نیاز به محاسبه مشتق انرژی جنبشی نسبت به سرعت‌های تعمیم‌یافته به کلی از میان برداشته می‌شود. به‌علاوه، نیروهای تعمیم‌یافته برحسب ترکیبی از نیروها، گشتاورها و ماتریس‌های دوران در پایه‌ی بدنه اجزای سیستم به دست می‌آیند و لذا از مسئله‌ی بیان بردارها در پایه‌ی اینترسی و همچنین محاسبه مشتقات جزئی اجتناب می‌شود. با این وجود، بدیهی به نظر می‌رسد که معادلات بولتزمان - هامل نیز همچون سایر روش‌های مدل‌سازی دینامیکی نمی‌تواند از هر نظر ایده‌آل به‌حساب آید. برای نمونه، بهره‌مندی حداکثری از مزایای قابل توجه معادلات بولتزمان - هامل و استنگی فراوانی به استخراج اتحادهای سینماتیکی متنوع دارد که نمونه‌های محدودی از آن در کار پژوهشی کوین [1] به دست آمده و در مدل‌سازی دینامیکی مورد استفاده قرار گرفته است. به‌علاوه ساختار عمومی این معادلات آن‌گونه که در مراجع گرین وود [2] و میرورویچ [3] آورده شده است در مقایسه با معادلات نیوتون-اویلر و معادلات لگرانزی دارای پیچیدگی‌ها و جزئیاتی است که بایستی مورد توجه قرار گیرند. در این مقاله به منظور پرهیز از پیچیدگی‌های مذکور و نیز عدم نیاز به تشکیل انرژی جنبشی برحسب مختصات تعمیم‌یافته و شبه‌سرعت‌ها، فرمی متفاوت از فرم متداول معادلات بولتزمان - هامل استخراج گردیده و کارایی آن در قالب استخراج معادلات حرکت ربات‌های زمینی و فضایی با تعداد دلخواه عضو صلب در حالت زنجیرباز نشان داده شده است. در این راستا، سه اتحاد سینماتیکی نیز اثبات گردیده و در حل مسئله مورد استفاده قرار گرفته است. در کار پژوهشی حبیب نژاد کورایم و شافعی [4]، فرمولاسیونی بازگشته مبتنی بر روش گیبس-اپل جهت استخراج معادلات حرکت بازوهای رباتیک ویسکوالاستیک براساس تئوری تیر تیموشنکو ارائه گردید.

در مرجع [5]، علیپور و همکاران مدلی تحلیلی برای ربات‌های متحرک چرخ‌دار با تعلیق انعطاف‌پذیر براساس روش نیوتون-اویلر استخراج نموده و برای صحبت‌سنجی مدل از نرم‌افزار آدامز استفاده نموده‌اند.

مسئله‌ی مدل‌سازی دینامیکی سیستم فرمان و هندلینگ خودرو با

¹ Nonholonomic Systems

² Quasi-Coordinates

³ Quasi-Velocities

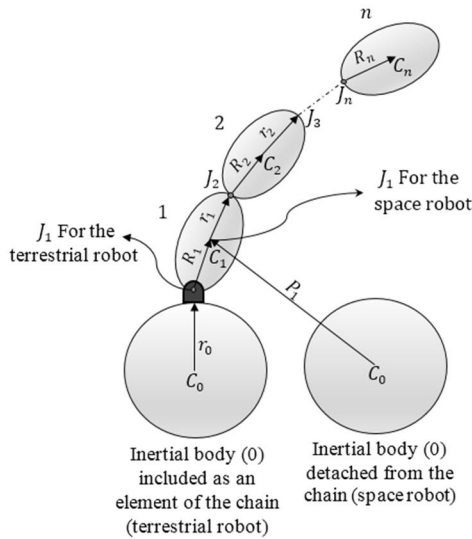


Fig. 1 Numbering the elements of terrestrial and space robots and assigning symbols to quantities and points

شکل ۱ شماره‌گذاری اجزای ربات‌های زمینی و فضایی به همراه نمادگذاری کمیت‌ها و نقاط در هریک از آن‌ها

$$\{q_t\} = \{\alpha_1^T \ \alpha_2^T \ \dots \ \alpha_n^T\}^T \quad (6-\text{الف})$$

$$\{q_s\} = \{p_1^T \ \alpha_1^T \ \alpha_2^T \ \dots \ \alpha_n^T\}^T \quad (6-\text{ب})$$

در دو معادله اخیر اندیس t برای ربات زمینی و s برای ربات فضایی در نظر گرفته شده است. همچنین $\{p_1\}$ ماتریس ستونی حاصل از تجزیه‌ی بردار مکان مرکز جرم جسم ۱ در پایه‌ی اینرسی و $\{\alpha_i\}$ ماتریس ستونی حاوی زوایای وضعیت جسم i نسبت به جسم $(i-1)$ ام هستند به طوری که:

$$\{q_t\} = \{\alpha_1^T \ \alpha_2^T \ \dots \ \alpha_n^T\}^T \quad (7-\text{الف})$$

$$\{\alpha_i\} = \{\psi_i \ \theta_i \ \phi_i\}^T \quad (7-\text{ب})$$

که در آن الزاماً در تعریف زوایای ψ_i , θ_i و ϕ_i وجود ندارد. به عبارت دیگر، هر ترکیبی از زوایا که بتواند وضعیت جسم i ام نسبت به جسم $(i-1)$ ام را به طور کامل معلوم کند مجاز بوده و لذا هر ۱۲ ترتیب زوایای اویلر تنها حالت خاصی از آن به حساب می‌آید.

3-2- انتخاب شبه سرعت‌های مستقل

فرض کنیم $\{b_1^{(i)}, b_2^{(i)}, b_3^{(i)}\}$ یک مجموعه‌ی سه‌تایی از بردارهای یکه، دو به دو متعامد و ساکن در عضو دلخواه i ام باشد. این مجموعه را پایه²ی بدنه ای عضو i ام (یا به اختصار پایه‌ی i ام) می‌نامیم. حال یک ماتریس ستونی به صورت $\{b_i\} = \{b_1^{(i)} \ b_2^{(i)} \ b_3^{(i)}\}^T$ تعریف می‌کنیم. اگر ω_i بردار سرعت زوایایی جسم i ام نسبت به جسم $(i-1)$ ام و $\{\omega_i\}$ ماتریس ستونی حاوی مؤلفه‌های ω_i در پایه‌ی بدنه ای عضو i ام باشند آن‌گاه می‌توان نوشت:

$$\omega_i = \{b_i\}^T \{\omega_i\} \quad (8)$$

به علاوه از مرجع [1] داریم:

$$\{\omega_i\} = [D_i] \{\dot{\alpha}_i\} \quad (9)$$

که در آن $[D_i]$ یک ماتریس 3×3 و تابعی از $\{\alpha_i\}$ است. با استفاده از این معادله می‌توان گفت که چون $\{\alpha_i\}$ ها از نظر سینماتیکی مستقل از یکدیگرند، $\{\omega_i\}$ ها نیز به هم وابسته نیستند و لذا می‌توانند به عنوان شبه سرعت‌ها انتخاب شوند. بدین ترتیب در مورد ربات زمینی می‌توان نوشت:

$$\frac{d}{dt} \left(\frac{\partial T}{\partial \{q\}} \right) - \frac{\partial T}{\partial \{q\}} = \{Q\} \quad (1)$$

حال فرض کنیم انرژی جنبشی به جای $T(\{q\}, \dot{q})$ به صورت $\bar{T}(\{q\}, \{\lambda\})$ نوشته شود و داشته باشیم:

$$\{\lambda\} = [S]\{\dot{q}\} \quad (2)$$

که در آن، $[S]$ یک ماتریس مربعی $m \times m$ و تابعی از $\{q\}$ است. درایه‌های ماتریس ستونی $\{\lambda\}$ را شبه سرعت‌ها می‌نامیم. تنها محدودیتی که در انتخاب شبه سرعت‌ها وجود دارد استقلال آن‌ها از یکدیگر است [2].

به عبارت دیگر، در تئوری معادلات بولتزمان-هامل، وجود هیچ رابطه‌ی سینماتیکی میان هر دو عضو دلخواه از $\{\lambda\}$ مجاز نیست. با استفاده از قاعده‌ی زنجیره‌ای در حساب دیفرانسیل ماتریسی و همچنین با توجه به تساوی $\bar{T} = \bar{T}(\{q\}, \{\lambda\}(\{q\}, \dot{q}))$ داریم:

$$\frac{\partial T}{\partial \{q\}} = \frac{\partial \bar{T}}{\partial \{q\}} + \frac{\partial \{\lambda\}}{\partial \{q\}} \frac{\partial \bar{T}}{\partial \{\lambda\}} \quad (3)$$

$$\frac{\partial T}{\partial \dot{q}} = \frac{\partial \{\lambda\}}{\partial \dot{q}} \frac{\partial \bar{T}}{\partial \{\lambda\}} = \frac{\partial [S]\{\dot{q}\}}{\partial \dot{q}} \frac{\partial \bar{T}}{\partial \{\lambda\}} = [S]^T \frac{\partial \bar{T}}{\partial \{\lambda\}} \quad (4)$$

با جای‌گذاری طرف راست روابط (3) و (4) در رابطه‌ی (1)، مرتب‌سازی عبارت‌ها و سپس ضرب طرفین در $[S]^{-T}$ ، معادله‌ی به صورت رابطه (5) حاصل می‌شود:

$$\frac{d}{dt} \left(\frac{\partial \bar{T}}{\partial \{\lambda\}} \right) + [S]^{-T} \left([\dot{S}]^T - \frac{\partial \{\lambda\}}{\partial \{q\}} \right) \frac{\partial \bar{T}}{\partial \{\lambda\}} - [S]^{-T} \frac{\partial \bar{T}}{\partial \{q\}} = \{\Phi\} \quad (5)$$

که در آن $\{\Phi\}$ را شبیه نیرو نامیده و به صورت $[S]^{-T}\{Q\}$ $\{\Phi\}$ تعریف می‌کنیم. معادله‌ی فوق همان فرمی از معادلات بولتزمان-هامل است که در مدل‌سازی دینامیکی سیستم‌های مورد مطالعه در این مقاله مورد استفاده قرار گرفته است. روند مدل‌سازی دینامیکی با استفاده از معادله (5) می‌تواند طبق مراحل زیر انجام شود:

(الف) انتخاب مختصات تعیین‌یافته‌ی مستقل $(\{q\})$: با توجه به این که معادله (5) از معادله‌ی لاگرانژ در حالت مختصات تعیین‌یافته‌ی مستقل به دست آمد، درایه‌های ماتریس ستونی $\{q\}$ الزاماً می‌بایستی مستقل انتخاب شوند. (ب) انتخاب شبه سرعت‌های مستقل $(\{\lambda\})$. (ج) انجام تحلیل سینماتیکی بر حسب شبه سرعت‌های انتخاب شده (د) استخراج ماتریس مربعی $[S]$: پس از معرفی ماتریس‌های ستونی $\{q\}$ و $\{\lambda\}$ ، ماتریس مربعی $[S]$ از رابطه (2) استخراج می‌شود. (ه) محاسبه‌ی عبارت $-[\dot{S}]^T \left(\frac{\partial \{\lambda\}}{\partial \{q\}} \right)$ (و) محاسبه‌ی $\frac{\partial \bar{T}}{\partial \{\lambda\}}$. (ز) محاسبه‌ی $\frac{\partial \bar{T}}{\partial \{q\}}$. (ح) محاسبه‌ی شبیه نیرو $\{\Phi\}$.

3- مدل‌سازی دینامیکی ربات زمینی و فضایی

در این قسمت با اعمال مراحل مذکور، به مدل‌سازی دینامیکی ربات زمینی و فضایی پرداخته خواهد شد. آرایش هندسی این دو سیستم به همراه نمادگذاری بردارهای مکان لازم برای تحلیل سینماتیکی در "شکل 1" نشان داده شده است.

3-1- انتخاب مختصات تعیین‌یافته‌ی مستقل

در حالت کلی که حرکت اجزای ربات زمینی و فضایی نسبت به هم سه‌بعدی است، مختصات تعیین‌یافته‌ی مستقل می‌توانند به صورت بردارهای سیستمی زیر در حالت بلوک‌بندی¹ شده انتخاب شوند:

² Basis

¹ Block Matrices

$$\bar{T} = \frac{1}{2} \sum_{i=1}^n (m_i \{V_i\}^T \{V_i\} + \{\Omega_i\}^T \{I_i\} \{\Omega_i\}) \quad (16)$$

در تبدیل روابط (12) و (14) از فرم برداری به فرم ماتریسی هر کمیت برداری در پایه‌ی متناظر با اندیس آن کمیت تجزیه می‌شود. لذا خواهیم داشت:

$$\{b_k\}^T \{\Omega_k\} = \{b_{k-1}\}^T \{\Omega_{k-1}\} + \{b_k\}^T \{\omega_k\} \quad (17\text{-الف})$$

$$\begin{aligned} \{b_k\}^T \{V_k\} &= \{b_{k-1}\}^T \{V_{k-1}\} + \{b_{k-1}\}^T \{\Omega_{k-1}\} \\ &\quad \times \{b_{k-1}\}^T \{\eta_{k-1}\} \\ &\quad + \{b_k\}^T \{\Omega_k\} \times \{b_k\}^T \{R_k\} \end{aligned} \quad (17\text{-ب})$$

حال طبق تعریف ماتریس دوران داریم:

$$\{b_{k-1}\}^T = \{b_k\}^T [C_{k-1}^k] \quad (18)$$

که در آن $[C_{k-1}^k]$ ماتریس دوران از پایه‌ی $(k-1)$ ام به پایه‌ی k می‌باشد. همچنین می‌توان ثابت نمود که:

$$\begin{aligned} \{b_{k-1}\}^T \{\Omega_{k-1}\} \times \{b_{k-1}\}^T \{r_{k-1}\} \\ = \{b_{k-1}\}^T [r_{k-1}^\times]^T \{\Omega_{k-1}\} \end{aligned} \quad (19\text{-الف})$$

$$\{b_k\}^T \{\Omega_k\} \times \{b_k\}^T \{R_k\} = \{b_k\}^T [R_k^\times]^T \{\Omega_k\} \quad (19\text{-ب})$$

که در آن به ازای هر بردار سنتوی سه مؤلفه‌ای به فرم $\{x\}$ می‌باشد. همچنین می‌توان ثابت نمود که:

$$\{b_{k-1}\}^T \{x_1\} x_2 x_3 \}^T, \quad (20)$$

تعریف می‌شود [3]:

$$[x^\times] = \begin{bmatrix} 0 & -x_3 & x_2 \\ x_3 & 0 & -x_1 \\ -x_2 & x_1 & 0 \end{bmatrix} \quad (20)$$

با جایگذاری معادلات (18) و (19) در معادلات (17) و سپس حذف $\{b_k\}^T$ از طرفین، فرم ماتریسی روابط سینماتیکی به صورت زیر حاصل می‌شود:

$$\{\Omega_k\} = [C_{k-1}^k] \{\Omega_{k-1}\} + \{\omega_k\} \quad (21\text{-الف})$$

$$\begin{aligned} [C_{k-1}^k] \{V_{k-1}\} + [C_{k-1}^k] [r_{k-1}^\times]^T \{\Omega_{k-1}\} \\ + [R_k^\times]^T \{\Omega_k\} \end{aligned} \quad (21\text{-ب})$$

از این دو رابطه نتیجه می‌شود:

$$\frac{\partial \{\Omega_k\}}{\partial \{\Omega_{k-1}\}} = \frac{\partial \{V_k\}}{\partial \{V_{k-1}\}} = [C_{k-1}^k]^T \quad (22\text{-الف})$$

$$\frac{\partial \{\Omega_k\}}{\partial \{\omega_k\}} = [U], \quad [U] \stackrel{\text{def}}{=} \text{Identity matrix} \quad (22\text{-ب})$$

$$\frac{\partial \{V_k\}}{\partial \{\Omega_k\}} = [R_k^\times] \quad (22\text{-ج})$$

$$\frac{\partial \{V_k\}}{\partial \{\Omega_{k-1}\}} = [r_{k-1}^\times] [C_{k-1}^k]^T \quad (22\text{-د})$$

3-4- استخراج ماتریس‌های [S]

در مورد بردار سرعت مرکز جرم جسم 1 می‌توان نوشت:

$$V_1 = \{b_0\}^T \{\dot{p}_1\} = \{b_1\}^T \{V_1\} \quad (23)$$

حال اگر ماتریس دوران از پایه‌ی b_0 به پایه‌ی $\{b_1\}$ را با $[C_0^1]$ نمایش دهیم آنگاه طبق تعریف خواهیم داشت:

$$\{b_0\}^T = \{b_1\}^T [C_0^1] \quad (24)$$

از دو معادله‌ی اخیر نتیجه می‌شود:

$$\{V_1\} = [C_0^1] \{\dot{p}_1\} \quad (25)$$

از ترکیب روابط (2)، (6-الف)، (9) و (10) برای ربات زمینی و روابط (2)، (6-ب)، (9)، (11) و (25) برای ربات فضایی، ماتریس‌های [S] برای هر

یک به صورت زیر به دست می‌آیند:

$$\{\lambda_t\} = \{\{\omega_1\}^T \{\omega_2\}^T \dots \dots \{\omega_n\}^T\}^T \quad (10)$$

که ابعاد آن با تعداد درجات آزادی ربات زمینی $(3n)$ برابر است. این در حالی است که ربات فضایی، سه درجه‌ی آزادی بیش از ربات زمینی دارد. بنابراین برای ربات فضایی یک ماتریس سنتوی سه مؤلفه‌ای غیر از $\{\omega_i\}$ ها موردنیاز است. یک انتخاب می‌تواند ماتریس سنتوی سرعت مرکز جرم جسم 1 در پایه‌ی اینرسی یعنی $\dot{x}_1 = \dot{\dot{p}}_1$ باشد. با این وجود، همان‌طور که در ادامه خواهیم دید، انتخاب ماتریس سنتوی سرعت مرکز جرم جسم 1 در پایه‌ی بدنه همان جسم به روابط سینماتیکی منظم‌تری می‌انجامد و لذا انتخاب مناسب‌تر است. اگر این کمیت را با $\{V_1\}$ نمایش دهیم آنگاه شبه سرعت برای ربات فضایی عبارت خواهد بود از:

$$\{\lambda_s\} = \{\{V_1\}^T \{\Omega_1\}^T \{\omega_2\}^T \dots \dots \{\omega_n\}^T\}^T \quad (11)$$

با توجه به این که در ربات فضایی، برخلاف ربات زمینی، چارچوب مرجع اینرسی عضوی از زنجیره نیست، $\{\omega_1\}$ در مورد آن معنا ندارد و لذا از $\{\Omega_1\}$ به جای $\{\omega_1\}$ استفاده شده است که بیانگر ماتریس سنتوی سه مؤلفه‌ای بردار سرعت زاویه‌ای جسم 1 نسبت به چارچوب مرجع اینرسی در پایه‌ی بدنه همان جسم است.

4- تحلیل سینماتیکی

4-1- تحلیل سینماتیکی برداری

اگر فرض کنیم Ω_k بردار سرعت زاویه‌ای جسم k ام نسبت به جسم صفرم (چارچوب مرجع اینرسی) باشد، آنگاه با استفاده از قضیه‌ی جمع سرعت‌های زاویه‌ای خواهیم داشت:

$$\Omega_k = \Omega_{k-1} + \omega_k \quad (12)$$

همچنین با استفاده از نمادگذاری‌های انجام شده در "شکل 1" داریم:

$$V_k = \frac{0}{dt} (P_0 P_k) = \frac{0}{dt} (P_0 P_{k-1}) + \frac{0}{dt} (r_{k-1}) + \frac{0}{dt} (R_k) \quad (13)$$

که در آن $\frac{0}{dt}$ بیانگر مشتق‌گیری از کمیت برداری نسبت به چارچوب مرجع اینرسی (0) است. حال با توجه به این که $V_{k-1} = \frac{0}{dt} (C_0 C_{k-1})$ و با اعمال قضیه‌ی انتقال نرخ تغییرات یک بردار میان دو چارچوب مرجع، معادله‌ی (13) می‌تواند به صورت زیر نوشته شود:

$$V_k = V_{k-1} + \Omega_{k-1} \times r_{k-1} + \Omega_k \times R_k \quad (14)$$

روابط (12) و (14) در ربات زمینی به ازای $k = 1, 2, \dots, n$ و در ربات فضایی به ازای $n = 2, \dots, k$ برقرار هستند.

4-2- تحلیل سینماتیکی ماتریسی

با توجه به رابطه‌ی انرژی جنبشی برای یک جسم صلب، انرژی جنبشی برای ربات زمینی می‌تواند به صورت زیر نوشته شود:

$$\bar{T} = \frac{1}{2} \sum_{i=1}^n (m_i V_i \cdot V_i + \Omega_i \cdot I_i \cdot \Omega_i) \quad (15)$$

که در آن تانسور اینرسی عضو i ام نسبت به مرکز جرم آن با I_i نمایش داده شده است. واضح است که بردارهای V_i ، Ω_i و تانسور مرتبه‌ی دوم I_i می‌توانند در هر پایه‌ی دلخواهی تجزیه شوند. با این وجود، تجزیه‌ی I_i فقط در پایه‌ی i به ماتریس اینرسی با دایره‌های نامتغیر با زمان منتهی می‌گردد و لذا مناسب است هر دو کمیت Ω_i و I_i در پایه‌ی i ام تجزیه گردند. در چنین شرایطی هیچ دلیل منطقی در تجزیه‌ی V_i در پایه‌ی i ام از پایه‌ی i ام وجود ندارد. لذا منظور از $\{V_i\}$ ، $\{\Omega_i\}$ و $[I_i]$ ماتریس‌هایی است که مؤلفه‌های I_i و Ω_i در پایه‌ی i ام را در خود جای داده‌اند. بر این اساس بیان ماتریسی انرژی جنبشی بر حسب این سه کمیت ماتریسی عبارت است از:

¹ Cross Matrix

و $[C_0^1]^{-T}[\dot{C}_0^1]^T$ ، $[D_i]^{-T}\left([\dot{D}_i]^T - \frac{\partial\{\omega_i\}}{\partial\{\alpha_i\}}\right)$ عبارت‌هایی به فرم $-[C_0^1]^{-T}\frac{\partial\{V_1\}}{\partial\{\alpha_1\}}$ در دو رابطه اخیر مشاهده می‌شود که بایستی روابطی برای آن‌ها به دست آید. در مرجع [1] آمده است که:

$$[\dot{C}_{k-1}^k] = [\omega_k^\times][C_{k-1}^k] \quad (30)$$

که در آن ماتریس کراس به صورت ترانهاده‌ی رابطه (30) تعریف شده است. لذا با توجه به تعریف ارائه شده از ماتریس کراس در این مقاله خواهیم داشت:

$$[\dot{C}_{k-1}^k] = [\omega_k^\times]^T[C_{k-1}^k] \quad (31)$$

بدین ترتیب داریم:

$$[\dot{C}_0^1]^T = [C_0^1]^T[\Omega_1^\times] \quad (32)$$

که نتیجه می‌دهد:

$$[C_0^1]^{-T}[\dot{C}_0^1]^T = [\Omega_1^\times] \quad (33)$$

برای استخراج دو عبارت باقیمانده، مدل‌سازی دینامیکی برای سیستم یک جسمی (1) یکبار با استفاده از فرم متداول معادلات بولتزمان-هامل که در مرجع [3] آورده شده و یکبار با استفاده از فرم پیشنهاد شده در این مقاله انجام می‌شود. این دو معادله با وجود این که ظاهر متفاوتی دارند، دینامیک سیستم یکسانی را توصیف می‌کنند و لذا معادل‌اند. از معادل بودن این دو معادله روابطی برای دو عبارت باقیمانده به دست آید که فرم رابطه (5) را به ازای سیستم‌های دینامیکی موردمطالعه در این مقاله بسیار ساده‌تر می‌کند.

در مرجع [2]، معادله‌ی گشتاور نیرو حول مرکز جرم برای جسم صلب از فرم عمومی معادله‌ی بولتزمان-هامل و به صورت رابطه (34) به دست آمده است:

$$\frac{d}{dt}\left(\frac{\partial\bar{T}}{\partial\{\Omega_1\}}\right) + [\Omega_1^\times]\frac{\partial\bar{T}}{\partial\{\Omega_1\}} + [V_1^\times]\frac{\partial\bar{T}}{\partial\{V_1\}} = \{M^{F/C}\} \quad (34)$$

که در آن $M^{F/C}$ بردار گشتاور سیستم نیرویی وارد بر جسم نسبت به نقطه‌ی مرکز جرم و $\{\cdot\}^{F/C}$ ماتریس‌های ستونی حاصل از تجزیه‌ی این بردار در پایه‌ی بدنی جسم است. برای این مسئله‌ی خاص، داریم:

$$\{q_s\} = \{p_1\}^T \{\alpha_1\}^T \quad (\text{الف})$$

$$\{\lambda_s\} = \{V_1\}^T \{\Omega_1\}^T \quad (\text{ب})$$

$$[S_s] = diag([C_0^1], [D_1]) \quad (\text{ج})$$

$$[S_s]^{-T}\left([\dot{S}_s]^T - \frac{\partial\{\lambda_s\}}{\partial\{q_s\}}\right) = \begin{bmatrix} [\Omega_1^\times] & [0] \\ -[D_1]^{-T}\frac{\partial\{V_1\}}{\partial\{\alpha_1\}} & [D_1]^{-T}\left([\dot{D}_1]^T - \frac{\partial\{\Omega_1\}}{\partial\{\alpha_1\}}\right) \end{bmatrix} \quad (\text{د})$$

از طرفی انرژی جنبشی بر حسب $\{q_s\}$ و $\{\lambda_s\}$ عبارت است از:

$$\bar{T} = \frac{1}{2}m_1\{V_1\}^T\{V_1\} + \frac{1}{2}\{\Omega_1\}^T[I_1]\{\Omega_1\} \quad (36)$$

که نتیجه می‌دهد:

$$\frac{\partial\bar{T}}{\partial\{q_s\}} = \{0\} \quad (37)$$

با جای‌گذاری روابط اخیر در رابطه (5) و بسط سطر دوم آن خواهیم داشت:

$$\frac{d}{dt}\left(\frac{\partial\bar{T}}{\partial\{\Omega_1\}}\right)$$

$$[S_s] = diag([C_0^1], [D_1], [D_2], \dots, [D_n]) \quad (26\text{-الف})$$

$$[S_s] = diag([C_0^1], [D_1], [D_2], \dots, [D_n]) \quad (26\text{-ب})$$

4-4 محاسبه‌ی عبارت $[\dot{S}]^T - \frac{\partial\{\lambda\}}{\partial\{q\}}$

ماتریس‌های $[S_t]$ و $[S_s]$ هردو قطری بلوکی¹ هستند و لذا همان‌طور که در مرجع [14] آمده است، محاسبه‌ی $[\dot{S}_s]^T - [S_t]^{-T}[\dot{S}_t]^T$ و $[S_s]$ به سادگی از اعمال $[\cdot]^{-T}$ روی درایه‌های قطر اصلی انجام می‌شود.

بدین ترتیب تنها جمله‌ای که از عبارت $[\dot{S}]^T - \frac{\partial\{\lambda\}}{\partial\{q\}}$ باقی می‌ماند، $\frac{\partial\{\lambda_t\}}{\partial\{q_t\}}$ خواهد بود. به کمک روابط (9) و (25) نتیجه می‌گیریم که:

$$\forall i \neq 1 : \frac{\partial\{V_1\}}{\partial\{\alpha_i\}} = [0] \quad (\text{الف})$$

$$\forall i \in \{1, 2, \dots, n\} : \frac{\partial\{\omega_i\}}{\partial\{p_1\}} = [0] \quad (\text{ب})$$

$$\frac{\partial\{V_1\}}{\partial\{p_1\}} = [0] \quad (\text{ج})$$

$$\forall i \neq j : \frac{\partial\{\omega_i\}}{\partial\{\alpha_j\}} = [0] \quad (\text{د})$$

$$\forall j \neq 1 : \frac{\partial\{\Omega_1\}}{\partial\{\alpha_j\}} = [0] \quad (\text{ه})$$

و لذا خواهیم داشت:

$$\frac{\partial\{\lambda_t\}}{\partial\{q_t\}} = diag\left(\frac{\partial\{\omega_1\}}{\partial\{\alpha_1\}}, \frac{\partial\{\omega_2\}}{\partial\{\alpha_2\}}, \dots, \frac{\partial\{\omega_n\}}{\partial\{\alpha_n\}}\right) \quad (\text{الف})$$

$$\frac{\partial\{\lambda_s\}}{\partial\{q_s\}} = \left(\frac{\partial\{V_1\}}{\partial\{\alpha_1\}}\right)_{21} + diag\left([0], \frac{\partial\{\Omega_1\}}{\partial\{\alpha_1\}}, \frac{\partial\{\omega_2\}}{\partial\{\alpha_2\}}, \dots, \frac{\partial\{\omega_n\}}{\partial\{\alpha_n\}}\right) \quad (\text{ب})$$

$$\text{که در آن } \left(\frac{\partial\{V_1\}}{\partial\{\alpha_1\}}\right)_{21} \text{ ماتریسی مربعی با بلوک‌های } 3 \times 3 \text{ است که}$$

$$\text{ماتریس } \frac{\partial\{V_1\}}{\partial\{\alpha_1\}} \text{ بلوک سطر دوم و ستون اول آن را تشکیل می‌دهد و سایر بلوک‌ها صفرند. در نهایت عبارت‌های } [S]^{-T}\left([\dot{S}]^T - \frac{\partial\{\lambda\}}{\partial\{q\}}\right) \text{ به صورت زیر به دست می‌آیند:}$$

$$[S_t]^{-T}\left([\dot{S}_t]^T - \frac{\partial\{\lambda_t\}}{\partial\{q_t\}}\right) = diag\left([D_1]^{-T}\left([\dot{D}_1]^T - \frac{\partial\{\omega_1\}}{\partial\{\alpha_1\}}\right), \dots, [D_n]^{-T}\left([\dot{D}_n]^T - \frac{\partial\{\omega_n\}}{\partial\{\alpha_n\}}\right)\right) \quad (\text{الف})$$

$$[S_s]^{-T}\left([\dot{S}_s]^T - \frac{\partial\{\lambda_s\}}{\partial\{q_s\}}\right) = \left(-[C_0^1]^{-T}\frac{\partial\{V_1\}}{\partial\{\alpha_1\}}\right)_{21} + diag\left([C_0^1]^{-T}[\dot{C}_0^1]^T, [D_1]^{-T}\left([\dot{D}_1]^T - \frac{\partial\{\omega_1\}}{\partial\{\alpha_1\}}\right), \dots, [D_n]^{-T}\left([\dot{D}_n]^T - \frac{\partial\{\omega_n\}}{\partial\{\alpha_n\}}\right)\right) \quad (\text{ب})$$

$$[S_t]^{-T}\left([\dot{S}_t]^T - \frac{\partial\{\lambda_t\}}{\partial\{q_t\}}\right) = diag\left([D_1]^{-T}\left([\dot{D}_1]^T - \frac{\partial\{\omega_1\}}{\partial\{\alpha_1\}}\right), \dots, [D_n]^{-T}\left([\dot{D}_n]^T - \frac{\partial\{\omega_n\}}{\partial\{\alpha_n\}}\right)\right) \quad (\text{الف})$$

$$[S_s]^{-T}\left([\dot{S}_s]^T - \frac{\partial\{\lambda_s\}}{\partial\{q_s\}}\right) = \left(-[C_0^1]^{-T}\frac{\partial\{V_1\}}{\partial\{\alpha_1\}}\right)_{21} + diag\left([C_0^1]^{-T}[\dot{C}_0^1]^T, [D_1]^{-T}\left([\dot{D}_1]^T - \frac{\partial\{\omega_1\}}{\partial\{\alpha_1\}}\right), \dots, [D_n]^{-T}\left([\dot{D}_n]^T - \frac{\partial\{\omega_n\}}{\partial\{\alpha_n\}}\right)\right) \quad (\text{ب})$$

$$\{\Lambda_s\} = \{\{V_1\}^T \{\Omega_1\}^T \{\Omega_2\}^T \dots \dots \{\Omega_n\}^T\}^T \quad (45)$$

از ترکیب روابط (44)، (45) و (46) نتیجه می‌شود:

$$\frac{\partial \bar{T}}{\partial \{\lambda_s\}} = \frac{\partial \bar{T}}{\partial \{\Lambda_s\}} \quad (46)$$

رابطه‌ی اخیر در مورد ربات زمینی نیز صدق می‌کند. به عبارت دیگر داریم:

$$\frac{\partial \bar{T}}{\partial \{\lambda_t\}} = \frac{\partial \bar{T}}{\partial \{\Lambda_t\}} \quad (47)$$

که در آن:

$$\{\Lambda_t\} = \{\{\Omega_1\}^T \{\Omega_2\}^T \dots \dots \{\Omega_n\}^T\}^T \quad (48)$$

با توجه به آنچه بیان گردید، معادله‌ی (5) برای ربات زمینی و فضایی به صورت زیر ساده می‌شوند:

$$\frac{d}{dt} \left(\frac{\partial \bar{T}}{\partial \{\Lambda_t\}} \right) + [\lambda_t^\times] \left(\frac{\partial \bar{T}}{\partial \{\Lambda_t\}} \right) - [S_t]^{-T} \left(\frac{\partial \bar{T}}{\partial \{q_t\}} \right) = \{\Phi_t\} \quad (\text{الف}) \quad (49)$$

$$\frac{d}{dt} \left(\frac{\partial \bar{T}}{\partial \{\Lambda_s\}} \right) + [\lambda_s^\times] \left(\frac{\partial \bar{T}}{\partial \{\Lambda_s\}} \right) - [S_s]^{-T} \left(\frac{\partial \bar{T}}{\partial \{q_s\}} \right) = \{\Phi_s\} \quad (\text{ب}) \quad (49)$$

5-4 محاسبه‌ی $\frac{\partial \bar{T}}{\partial \{\lambda_s\}}$ برای ربات فضایی

در محاسبه‌ی $\frac{\partial \bar{T}}{\partial \{\Lambda_s\}}$ به درک نحوه‌ی ارتباط میان کمیت‌های سینماتیکی (روابط 21) نیاز داریم. یک راه کار بسیار مناسب در دست‌یابی به این هدف رسم گرافی است که تصویر واضحی از نقش تک‌تک کمیت‌های سینماتیکی در تشکیل انرژی جنبشی را در اختیار گذارد. گراف متناظر با روابط سینماتیکی (21-الف) و (21-ب) می‌تواند به صورت "سکل 2" نمایش داده شود.

در گراف فوق A و B به ترتیب انرژی جنبشی انتقالی و دورانی کل سیستم و A_i و B_i به ترتیب انرژی جنبشی انتقالی و دورانی جزء i ام هستند. به عبارت دیگر داریم:

$$A_i = \frac{1}{2} m_i \{V_i\}^T \{V_i\} \quad (\text{الف}) \quad (50)$$

$$B_i = \frac{1}{2} \{\Omega_i\}^T [I_i] \{\Omega_i\} \quad (\text{ب}) \quad (50)$$

از روابط اخیر خواهیم داشت:

$$\frac{\partial A_i}{\partial \{V_i\}} = m_i \{V_i\} \quad (\text{الف}) \quad (51)$$

$$\frac{\partial B_i}{\partial \{\Omega_i\}} = [I_i] \{\Omega_i\} \quad (\text{ب}) \quad (51)$$

نحوه‌ی استفاده از این گراف در محاسبه‌ی درایه‌های $\frac{\partial \bar{T}}{\partial \{\Lambda_s\}}$ به این صورت است که در گام اول تمام مسیرهای آغاز شده از کمیت داخل کروشه تا \bar{T} شناسایی می‌شوند. در گام دوم به ازای هر یک از پاره‌خط‌های جهت‌دار در یک مسیر دلخواه از کمیت انتهای پاره‌خط جهت‌دار نسبت به کمیت حاضر در ابتدای آن، گرادیان ماتریسی گرفته می‌شود. در گام سوم همه‌ی گرادیان‌ها از پاره‌خط جهت‌دار اول تا آخر در هم ضرب می‌شوند. با به دست آمدن این حاصل ضرب‌ها برای تمامی مسیرها، آن‌ها را با هم جمع می‌کنیم. در نهایت

حاصل این جمع همان $\frac{\partial \bar{T}}{\partial \{\Lambda_s\}}$ خواهد بود.

$$\frac{\partial \bar{T}}{\partial \{V_1\}} = \sum_{k=1}^n [C_k^1]^T m_k \{V_k\} \quad (\text{الف}) \quad (52)$$

$$+ [D_1]^{-T} \left([\dot{D}_1]^T - \frac{\partial \{\Omega_1\}}{\partial \{\alpha_1\}} \right) \frac{\partial \bar{T}}{\partial \{\Omega_1\}} - [D_1]^{-T} \frac{\partial \{V_1\}}{\partial \{\alpha_1\}} \frac{\partial \bar{T}}{\partial \{V_1\}} = [D_1]^{-T} \{Q_{\alpha_1}\} \quad (38)$$

حال با کم کردن رابطه‌ی (38) از رابطه‌ی (34) خواهیم داشت:

$$\left([Q_1^\times] - [D_1]^{-T} \left([\dot{D}_1]^T - \frac{\partial \{\Omega_1\}}{\partial \{\alpha_1\}} \right) \right) \frac{\partial \bar{T}}{\partial \{\Omega_1\}} + \left([V_1^\times] + [D_1]^{-T} \frac{\partial \{V_1\}}{\partial \{\alpha_1\}} \right) \frac{\partial \bar{T}}{\partial \{V_1\}} = \{M^{F/C}\} - [D_1]^{-T} \{Q_{\alpha_1}\} \quad (39)$$

طی روندی طولانی اثبات نموده‌ایم که ضرایب مونتموم های خطی و زاویه‌ای در معادله‌ی (39) هر دو صفرند و لذا دو اتحاد سینماتیکی بهصورت زیر حاصل می‌شوند:

$$[Q_1^\times] - [D_1]^{-T} \left([\dot{D}_1]^T - \frac{\partial \{\Omega_1\}}{\partial \{\alpha_1\}} \right) = [0] \quad (\text{الف}) \quad (40)$$

$$[V_1^\times] + [D_1]^{-T} \frac{\partial \{V_1\}}{\partial \{\alpha_1\}} = [0] \quad (\text{ب}) \quad (40)$$

به همین ترتیب از صفر بودن طرف راست معادله‌ی (39) ثابت می‌کنیم که:

$$[x^\times] - [D_i]^{-T} \frac{\partial [C_{i-1}^i]^T \{x\}}{\partial \{\alpha_i\}} [C_{i-1}^i]^T = [0] \quad (\text{ج}) \quad (40)$$

که در آن $\{x\}$ هر برداری است که به $\{\alpha_i\}$ بستگی نداشته باشد. روابط (40) صرفاً بیانگر ارتباط میان انواع کمیت‌های سینماتیکی هستند و لذا به اندیس وابستگی ندارند (به ازای سایر اندیس‌ها نیز صحیح‌اند). با استفاده از این واقعیت و نیز جای‌گذاری از رابطه‌ی (25) خواهیم داشت:

$$[\omega_i^\times] - [D_i]^{-T} \left([\dot{D}_i]^T - \frac{\partial \{\omega_i\}}{\partial \{\alpha_i\}} \right) = [0] \quad (\text{الف}) \quad (41)$$

$$[(C_{i-1}^i)\{x\}]^\times + [D_i]^{-T} \frac{\partial [C_{i-1}^i]\{x\}}{\partial \{\alpha_i\}} = [0] \quad (\text{ب}) \quad (41)$$

$$[x^\times] - [D_i]^{-T} \frac{\partial [C_{i-1}^i]^T \{x\}}{\partial \{\alpha_i\}} [C_{i-1}^i]^T = [0] \quad (\text{ج}) \quad (41)$$

که در آن برای ربات زمینی $i = 1, 2, \dots, n$ و برای ربات فضایی $i = 2, \dots, n$ خواهد بود.

حال با جای‌گذاری رابطه‌ی (41-الف) در روابط (29) نتایج زیر حاصل خواهند شد:

$$[\lambda_t^\times] \stackrel{\text{def}}{=} [S_t]^{-T} \left([\dot{S}_t]^T - \frac{\partial \{\lambda_t\}}{\partial \{q_t\}} \right) = diag([\omega_1^\times], [\omega_2^\times], \dots, [\omega_n^\times]) \quad (\text{الف}) \quad (42)$$

$$[\lambda_s^\times] \stackrel{\text{def}}{=} [S_s]^{-T} \left([\dot{S}_s]^T - \frac{\partial \{\lambda_s\}}{\partial \{q_s\}} \right) = ([V_1^\times])_{21} + diag([\Omega_1^\times], [\Omega_2^\times], [\omega_2^\times], \dots, [\omega_n^\times]) \quad (\text{ب}) \quad (42)$$

که در آن دو ماتریس $[\lambda_t^\times]$ و $[\lambda_s^\times]$ تعریف شده‌اند. با استفاده از رابطه‌ی (11) و طبق تعاریف حساب دیفرانسیل ماتریسی داریم:

$$\frac{\partial \bar{T}}{\partial \{\lambda_s\}} = \left\{ \left(\frac{\partial \bar{T}}{\partial \{V_1\}} \right)^T \left(\frac{\partial \bar{T}}{\partial \{\Omega_1\}} \right)^T \left(\frac{\partial \bar{T}}{\partial \{\omega_2\}} \right)^T \dots \dots \left(\frac{\partial \bar{T}}{\partial \{\omega_n\}} \right)^T \right\} \quad (43)$$

از رابطه‌ی (22-ب) داریم:

$$\frac{\partial \bar{T}}{\partial \{\omega_i\}} = \frac{\partial \{\Omega_i\}}{\partial \{\omega_i\}} \frac{\partial \bar{T}}{\partial \{\Omega_i\}} = \frac{\partial \bar{T}}{\partial \{\Omega_i\}} \quad (44)$$

حال تعریف می‌کنیم:

از روابط (21) نتیجه می‌گیریم که درایه‌های ماتریس ستونی $\{p_1\}$ و ماتریس مربعی $[C_0^i(\alpha_1)]$ در تابع انرژی جنبشی حضور ندارند. لذا می‌توان نوشت:

$$\frac{\partial \bar{T}}{\partial \{p_1\}} = \frac{\partial \bar{T}}{\partial \{\alpha_1\}} = \{0\} \quad (55)$$

حال به ازای $i = 2, 3, \dots, n$ خواهیم داشت:

$$\frac{\partial \bar{T}}{\partial \{\alpha_i\}} = \frac{\partial}{\partial \{\alpha_i\}} \sum_{j=1}^{i-1} \bar{T}_j + \frac{\partial}{\partial \{\alpha_i\}} \sum_{j=i}^n \bar{T}_j \quad (56)$$

واضح است که \bar{T}_j به ازای $j = 1, 2, 3, \dots, i-1$ ز تابعی از $[C_{i-1}^i(\alpha_i)]$ نبوده و لذا تابعی از $\{\alpha_i\}$ نیز نخواهد بود. بنابراین می‌توان نوشت:

$$\frac{\partial \bar{T}}{\partial \{\alpha_i\}} = \sum_{j=i}^n \frac{\partial \bar{T}_j}{\partial \{\alpha_i\}} \quad (57)$$

از طرفی داریم:

$$\bar{T}_j = \bar{T}_j (\{V_j\}(\{\alpha_i\}), \{\Omega_j\}(\{\alpha_i\})) \quad (58)$$

با گردانی‌گیری از طرفین نسبت به $\{\alpha_i\}$ خواهیم داشت:

$$\begin{aligned} \frac{\partial \bar{T}_j}{\partial \{\alpha_i\}} &= \frac{\partial \{V_j\}}{\partial \{\alpha_i\}} \frac{\partial \bar{T}_j}{\partial \{V_j\}} + \frac{\partial \{\Omega_j\}}{\partial \{\alpha_i\}} \frac{\partial \bar{T}_j}{\partial \{\Omega_j\}} \\ &= \frac{\partial \{V_j\}}{\partial \{\alpha_i\}} m_j \{V_j\} \\ &\quad + \frac{\partial \{\Omega_j\}}{\partial \{\alpha_i\}} [I_j] \{\Omega_j\} \end{aligned} \quad (59)$$

با جای‌گذاری رابطه‌ی اخیر در رابطه‌ی (57) نتیجه می‌شود:

$$\frac{\partial \bar{T}}{\partial \{\alpha_i\}} = \sum_{j=i}^n \left(\frac{\partial \{V_j\}}{\partial \{\alpha_i\}} m_j \{V_j\} + \frac{\partial \{\Omega_j\}}{\partial \{\alpha_i\}} [I_j] \{\Omega_j\} \right) \quad (60)$$

کام بعدی محاسبه‌ی $\frac{\partial \{V_j\}}{\partial \{\alpha_i\}}$ و $\frac{\partial \{\Omega_j\}}{\partial \{\alpha_i\}}$ خواهد بود. برای این منظور داریم:

$$\frac{\partial \{\Omega_j\}}{\partial \{\alpha_i\}} = \frac{\partial \{\Omega_i\}}{\partial \{\alpha_i\}} \frac{\partial \{\Omega_j\}}{\partial \{\Omega_i\}} \quad (61)$$

از ترکیب روابط (21-الف)، (41-ب) نتیجه می‌گیریم:

$$\frac{\partial \{\Omega_i\}}{\partial \{\alpha_i\}} = -[D_i]^T [C_{i-1}^i] [\Omega_{i-1}^\times] [C_{i-1}^i]^T \quad (62)$$

به علاوه از قاعده‌ی زنجیره‌ای خواهیم داشت:

$$\frac{\partial \{\Omega_j\}}{\partial \{\Omega_i\}} = \frac{\partial \{\Omega_{i+1}\}}{\partial \{\Omega_i\}} \frac{\partial \{\Omega_{i+2}\}}{\partial \{\Omega_{i+1}\}} \dots \frac{\partial \{\Omega_j\}}{\partial \{\Omega_{j-1}\}} \quad (63)$$

حال با استفاده از رابطه‌ی (22-الف) می‌توان نوشت:

$$\frac{\partial \{\Omega_j\}}{\partial \{\Omega_i\}} = [C_i^{i+1}]^T [C_{i+1}^{i+2}]^T \dots [C_{j-1}^j]^T = [C_i^j]^T \quad (64)$$

از ترکیب روابط (61)، (62) و (64) نتیجه‌ی زیر حاصل می‌شود:

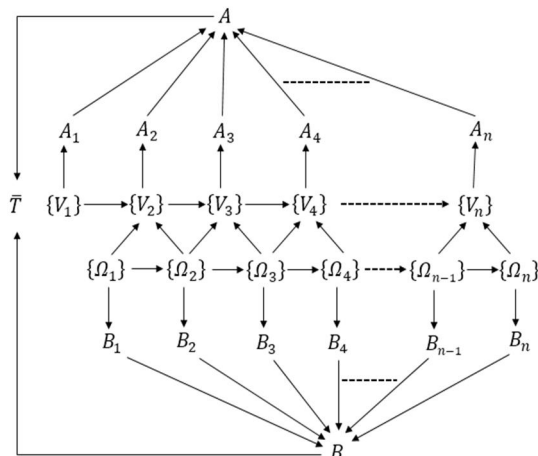
$$\frac{\partial \{\Omega_j\}}{\partial \{\alpha_i\}} = -[D_i]^T [C_{i-1}^i] [\Omega_{i-1}^\times] [C_{i-1}^i]^T \quad (65)$$

برای محاسبه‌ی $\frac{\partial \{V_j\}}{\partial \{\alpha_i\}}$ با استفاده از رابطه‌ی (21) می‌توان نوشت:

$$\begin{aligned} \frac{\partial \{V_j\}}{\partial \{\alpha_i\}} &= \frac{\partial \{V_{j-1}\}}{\partial \{\alpha_i\}} [C_{j-1}^j]^T \\ &\quad + \frac{\partial \{\Omega_{j-1}\}}{\partial \{\alpha_i\}} ([r_{j-1}^\times] [C_{j-1}^j]^T \\ &\quad + [C_{j-1}^j]^T [R_j^\times]) \end{aligned} \quad (66)$$

در رابطه‌ی اخیر، از رابطه‌ی (65) به دست می‌آید. به علاوه از روابط (21) و (41-ب) داریم:

$$\frac{\partial \{V_i\}}{\partial \{\alpha_i\}} = -[D_i]^T [C_{i-1}^i] [V_i^\times] [C_{i-1}^i]^T + \frac{\partial \{\Omega_i\}}{\partial \{\alpha_i\}} [R_i^\times] \quad (67)$$



شکل 2 نحوه تشکیل انرژی جنبشی کل توسط کمیت‌های سینماتیکی

با انجام روند مذکور به ازای تک درایه‌های $\{A_s\}$ و بهره‌گیری از روابط (51) نتایج عمومی زیر حاصل می‌شوند:

$$\begin{aligned} \frac{\partial \bar{T}}{\partial \{\Omega_i\}} &= \sum_{k=i}^n [C_i^k]^T [I_k] \{\Omega_k\} \\ &\quad + \sum_{k=i}^n \left(\sum_{j=i}^k ([C_i^j]^T [L(j, k)] [C_j^k]^T) \right) m_k \{V_k\} \end{aligned} \quad (i=1, 2, \dots, n) \quad (52)$$

که در آن:

$$\begin{aligned} [R_1^\times] &= [0] \quad , \quad [L(j, k)] \\ &= \begin{cases} [R_j^\times] & j = k \\ [R_j^\times] + [r_j^\times] & j \neq k \end{cases} \end{aligned} \quad (j=1, 2, \dots, n) \quad (52)$$

4-6- محاسبه‌ی $\frac{\partial \bar{T}}{\partial \{\lambda_i\}}$ برای ربات زمینی

گراف شکل 2 برای ربات زمینی نیز قابل استفاده است با این تفاوت که باستی یک پاره خط جهت‌دار از سمت $\{V_1\}$ به $\{\Omega_1\}$ نیز رسم شود تا واپسگی آن‌ها در ربات زمینی نشان داده شود. با استفاده از این گراف، روابطی به صورت زیر به دست خواهد آمد:

$$\begin{aligned} \frac{\partial \bar{T}}{\partial \{\Omega_i\}} &= \sum_{k=i}^n [C_i^k]^T [I_k] \{\Omega_k\} \\ &\quad + \sum_{k=i}^n \left(\sum_{j=i}^k ([C_i^j]^T [L(j, k)] [C_j^k]^T) \right) m_k \{V_k\} \end{aligned} \quad (i=1, 2, \dots, n) \quad (53)$$

این رابطه با رابطه‌ی (50-ب) یکسان است با این تفاوت که با توجه به شکل 2، "[R_1^\times]" صفر نیست.

4-7- محاسبه‌ی $\frac{\partial \bar{T}}{\partial \{q_s\}}$ برای ربات فضایی

از رابطه‌ی (6-ب) داریم:

$$\begin{aligned} \frac{\partial \bar{T}}{\partial \{q_s\}} &= \left\{ \left(\frac{\partial \bar{T}}{\partial \{p_1\}} \right)^T \left(\frac{\partial \bar{T}}{\partial \{\alpha_1\}} \right)^T \dots \left(\frac{\partial \bar{T}}{\partial \{\alpha_n\}} \right)^T \right\} \end{aligned} \quad (54)$$

که در آن اندیس صفر به این معناست که هر دو ماتریس‌های ستونی، حاصل تجزیه‌ی بردارهای داخل کروشه در پایه‌ی اینرسی هستند. از رابطه‌ی خیر خواهیم داشت:

$$\{Q_{\alpha_i}\} = \sum_k \frac{\partial \{u_{ik}\}_0}{\partial \{\alpha_i\}} \{F_k\}_0 \quad (76)$$

حال اگر رابطه‌ی خیر را بر حسب $\{u_{ik}\}_i$ بنویسیم رابطه‌ی (77) حاصل می‌شود:

$$\{Q_{\alpha_i}\} = \sum_k \frac{\partial [C_0^i]^T \{u_{ik}\}_i}{\partial \{\alpha_i\}} \{F_k\}_0 \quad (77)$$

از طرفی داریم:

$$\frac{\partial [C_0^i]^T \{u_{ik}\}_i}{\partial \{\alpha_i\}} = \frac{\partial [C_0^{i-1}]^T [C_{i-1}^i]^T \{u_{ik}\}_i}{\partial \{\alpha_i\}} \quad (78)$$

با استفاده از رابطه‌ی (41-ج) و اعمال قاعده‌ی زنجیره‌ای خواهیم داشت:

$$\frac{\partial [C_0^i]^T \{u_{ik}\}_i}{\partial \{\alpha_i\}} = [D_i]^T [u_{ik}^x]_i [C_0^i] \quad (79)$$

که جای‌گذاری آن در رابطه‌ی (77) به معادله‌ی (80) منتج می‌گردد:

$$\begin{aligned} \{Q_{\alpha_i}\} &= [D_i]^T \sum_k [u_{ik}^x]_i [C_0^i] \{F_k\}_0 \\ &= [D_i]^T \sum_k [u_{ik}^x]_i \{F_k\}_i \end{aligned} \quad (80)$$

نهایتاً از ضرب $[S]^{-T}$ در $\{Q\}$ شبیه نیروها به صورت زیر به دست می‌آیند:

$$\{\Phi\} = \left\{ \{\Phi_{P_1}\}^T \ \{\Phi_{\alpha_1}\}^T \dots \{\Phi_{\alpha_n}\}^T \right\}^T \quad (81)$$

که در آن:

$$\{\Phi_{P_1}\} = [C_0^i] \{Q_{P_1}\} \quad (82)$$

و:

$$\{\Phi_{\alpha_i}\} = [D_i]^{-T} \{Q_{\alpha_i}\} = \sum_k [u_{ik}^x]_i \{F_k\}_i \quad (83)$$

۱-۵- محاسبه‌ی شبیه نیروها برای ربات زمینی
رابطه‌ی (83) در مورد هر دو ربات صحیح است با این تفاوت که J_1 برای ربات زمینی، مفصل آن با زمین و برای ربات فضایی، نقطه‌ی مرکز جرم جسم اول هستند (شکل 1).

۶- مدل‌سازی دینامیکی یک ربات دو لینکی زمینی

در این قسمت قصد داریم با استفاده از الگوریتم ارائه شده مدل دینامیکی یک ربات دو لینکی زمینی در حالت صفحه‌ای را به دست آوریم (شکل 3). در

موردنیزه شده می‌باشد:

$$\begin{aligned} \frac{d}{dt} \left\{ \begin{array}{c} \frac{\partial \bar{T}}{\partial \{\Omega_1\}} \\ \frac{\partial \bar{T}}{\partial \{\Omega_2\}} \end{array} \right\} + \left[\begin{array}{cc} [\omega_1^x] & [0] \\ [0] & [\omega_2^x] \end{array} \right] \left\{ \begin{array}{c} \frac{\partial \bar{T}}{\partial \{\Omega_1\}} \\ \frac{\partial \bar{T}}{\partial \{\Omega_2\}} \end{array} \right\} \\ - \left[\begin{array}{cc} [D_1]^{-T} & [0] \\ [0] & [D_2]^{-T} \end{array} \right] \left\{ \begin{array}{c} \frac{\partial \bar{T}}{\partial \{\alpha_1\}} \\ \frac{\partial \bar{T}}{\partial \{\alpha_2\}} \end{array} \right\} = \left\{ \begin{array}{c} \{\Phi_{\alpha_1}\} \\ \{\Phi_{\alpha_2}\} \end{array} \right\} \end{aligned} \quad (84)$$

$$\begin{bmatrix} C_1^2 \\ C_1^1 \end{bmatrix} = \begin{bmatrix} \cos \psi_2 & \sin \psi_2 & 0 \\ -\sin \psi_2 & \cos \psi_2 & 0 \\ 0 & 0 & 1 \end{bmatrix} \quad (85)$$

که در آن:

$$\{V_{J_i}\} = \{V_{i-1}\} + [r_{i-1}^x]^T \{\Omega_{i-1}\} \quad (68)$$

با استفاده از رابطه‌ی (67)، مقادیر $\frac{\partial \{V_j\}}{\partial \{\alpha_i\}}$ به ازای $j = i+1, \dots, n$ به صورت بازگشتی به دست می‌آیند.

۴-۸- محاسبه‌ی $\frac{\partial \bar{T}}{\partial \{q_t\}}$ برای ربات زمینی

روابط (59) تا (68) در مورد ربات زمینی نیز صدق می‌کنند با این تفاوت که داریم:

$$\{V_{J_2}\} = [(R_1 + r_1)^x]^T \{\omega_1\} \quad (69)$$

۵- محاسبه‌ی شبیه نیروها

فرض کنیم F نیرویی دلخواه، اعمال شده بر عضوی دلخواه باشد. بردار مکان منتظر با محل اعمال این نیرو می‌تواند به دو قسمت P_1 (بردار مکان مرکز جرم جسم اول) و u تقسیم شود که در آن u برداری است که از مرکز جرم جسم اول آغاز و به محل اعمال نیرو منتهی می‌شود. لذا می‌توان نوشت:

$$Q_x = \sum_{sys} F \cdot \frac{\partial (P_1 + u)}{\partial x} \quad (70)$$

واضح است که بردار u به x بستگی ندارد و لذا $0 = \frac{\partial u}{\partial x}$ خواهد بود. به علاوه داریم:

$$\frac{\partial P_1}{\partial x} = \frac{\partial}{\partial x} (x b_1^{(0)} + y b_2^{(0)} + z b_3^{(0)}) = b_1^{(0)} \quad (71)$$

بنابراین خواهیم داشت:

$$Q_x = \left(\sum_{sys} F \right) \cdot b_1^{(0)} \quad (72)$$

بدین ترتیب $\{Q_{P_1}\}$ به صورت رابطه (73) به دست می‌آید:

$$\begin{aligned} \{Q_{P_1}\} &= \left\{ \left(\sum_{sys} F \right) \cdot b_1^{(0)} \ \left(\sum_{sys} F \right) \right. \\ &\quad \left. \cdot b_2^{(0)} \ \left(\sum_{sys} F \right) \cdot b_3^{(0)} \right\}^T \end{aligned} \quad (73)$$

از معادله‌ی اخیر معلوم می‌گردد که $\{Q_{P_1}\}$ ، همان ماتریس ستونی حاوی مؤلفه‌های نیروی برایند وارد بر کل سیستم در پایه‌ی اینرسی است.

ماتریس دوران $[C_{i-1}^i]$ به عنوان تابعی از ماتریس ستونی $\{\alpha_i\}$ ، در بردارهای مکان مستقر در جسم i ام به بعد حضور دارد. لذا در محاسبه‌ی Q_{ψ_i} با زنجیره‌ای از اعضاء مشکل از جسم i ام تا جسم n ام مواجه خواهیم بود. لذا می‌توان نوشت:

$$Q_{\psi_i} = \sum_k F_k \cdot \frac{\partial u_{ik}}{\partial \psi_i} \quad (74)$$

که در آن F_k نیروی k ام وارد بر سیستم مت Shank از جسم i ام تا جسم n ام و u_{ik} بردار مکان از J_i به محل اعمال F_k هستند.

رابطه‌ی اخیر را می‌توان طبق روند زیر بر حسب پایه‌ی اینرسی بیان نمود:

$$\begin{aligned} Q_{\psi_i} &= \sum_k \{b_0\}^T \{F_k\}_0 \cdot \frac{\partial \{b_0\}^T \{u_{ik}\}_0}{\partial \psi_i} \\ &= \sum_k \{b_0\}^T \{F_k\}_0 \\ &\quad \cdot \{b_0\}^T \left(\frac{\partial \{u_{ik}\}_0}{\partial \psi_i} \right)^T \\ &= \sum_k \frac{\partial \{u_{ik}\}_0}{\partial \psi_i} \{F_k\}_0 \end{aligned} \quad (75)$$

$$\frac{\partial \bar{T}}{\partial \{\Omega_2\}} = \left\{ 0, 0, \frac{2}{3} ml^2 (\dot{\psi}_1(2 + 3\cos\psi_2) + 2\dot{\psi}_2) \right\}^T \quad (89)$$

$$-[D_2]^{-T} \frac{\partial \bar{T}}{\partial \{\alpha_2\}} = \left\{ 0, 0, 2ml^2 \dot{\psi}_1 (\dot{\psi}_1 + \dot{\psi}_2) \sin\psi_2 \right\} \quad (89)$$

$$\begin{bmatrix} [\omega_1^x] & [0] \\ [0] & [\omega_2^x] \end{bmatrix} \begin{Bmatrix} \frac{\partial \bar{T}}{\partial \{\Omega_1\}} \\ \frac{\partial \bar{T}}{\partial \{\Omega_2\}} \end{Bmatrix} = \begin{Bmatrix} \{0\} \\ \{0\} \end{Bmatrix} \quad (89)$$

1-6 - محاسبه‌ی شبیه‌سازی برای ربات دو لینکی زمینی

با توجه به "شکل 3" و روابط (86) (داریم:

$$\begin{aligned} \{\Phi_{\alpha_1}\} &= 2[R^x]\{F_1\} + 2([R^x] \\ &\quad + ([C_1^2]^T\{R\})^x)\{F_2\} \\ &= \{0, 0, 2l(f_1 \\ &\quad + f_2(1 + \cos\psi_2))\}^T \end{aligned} \quad (90)$$

$$\{\Phi_{\alpha_2}\} = 2[R^x]\{F_2\} = \{0, 0, 2lf_2\}^T \quad (90)$$

در نهایت، با جای‌گذاری روابط (89) و (90) در رابطه‌ی (84)، معادلات حرکت به صورت زیر به دست می‌آیند:

$$\begin{aligned} 2l(f_1 + f_2(1 + \cos\psi_2)) \\ = \frac{2}{3} ml^2 [2(5 \\ + 3\cos\psi_2)\ddot{\psi}_1 \\ + (2 + 3\cos\psi_2)\ddot{\psi}_2 \\ - 3\dot{\psi}_2(2\dot{\psi}_1 \\ + \dot{\psi}_2)\sin\psi_2] \end{aligned} \quad (91)$$

$$2lf_2 = \frac{2}{3} ml^2 [2\ddot{\psi}_2 + (2 + 3\cos\psi_2)\ddot{\psi}_1 \\ + 3\dot{\psi}_1^2 \sin\psi_2] \quad (91)$$

7- نتایج شبیه‌سازی

در این قسمت نتایج شبیه‌سازی و صحت‌سنجی مدل در نرم‌افزار آدامز به ازای شرایط اولیه‌ی صفر، $I_{yy} = I_{zz} = 0.2$ $I_{xx} = 1$ $m = 3 kg$ و $f_1 = f_2 = 0.1 \sin t N$ به دست آمده و همان‌طور که در شکل‌های 4 و 5 مشاهده می‌شود، نمودارهای حاصل از شبیه‌سازی توسط الگوریتم ارائه شده با مدل نرم‌افزار آدامز به طور کامل مطابقت دارد.

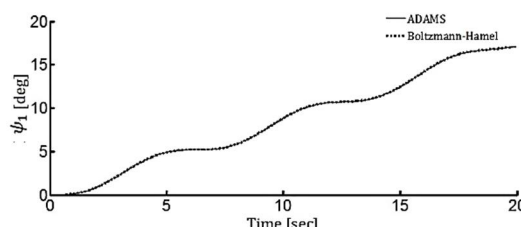


Fig. 4 Validation of the first generalized coordinate

شکل 4 صحت‌سنجی اولین مختصه‌ی تعیین یافته

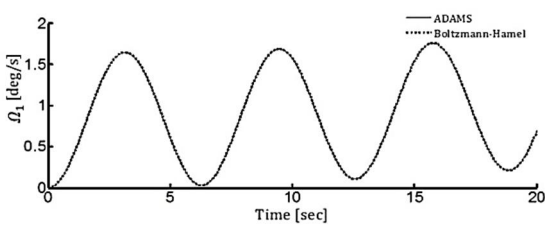


Fig. 5 Validation of the first quasi-velocity

شکل 5 صحت سنجی شبیه‌سرعت اول

حال فرض می‌کنیم لینک‌ها، میله‌هایی باریک و همسان باشند و نیروها همواره عمود بر میله‌ها باقی مانند. بر این اساس داریم:

$$m_1 = m_2 = m \quad (86)$$

$$[I_1] = [I_2] = [I] = \frac{1}{3} ml^2 \begin{bmatrix} 0 & 0 & 0 \\ 0 & 1 & 0 \\ 0 & 0 & 1 \end{bmatrix} \quad (86)$$

$$\{R_1\} = \{r_1\} = \{R_2\} = \{R\} = \{l, 0, 0\}^T \quad (86)$$

$$\{F_1\} = \{0, f_1, 0\}^T \quad (86)$$

$$\{F_2\} = \{0, f_2, 0\}^T \quad (86)$$

با در نظر گرفتن ساده سازی های اخیر و استفاده از روابط (53)، (60) و (62) (داریم: (67) و (68))

$$\begin{aligned} \frac{\partial \bar{T}}{\partial \{\Omega_1\}} &= [I]\{\Omega_1\} + [C_1^2]^T[I]\{\Omega_2\} + [R^x]m\{V_1\} \\ &\quad + (2[R^x][C_1^2]^T \\ &\quad + [C_1^2]^T[R^x])m\{V_2\} \end{aligned} \quad (87)$$

$$\frac{\partial \bar{T}}{\partial \{\Omega_2\}} = [I]\{\Omega_2\} + [R^x]m\{V_2\} \quad (87)$$

$$-[D_1]^{-T} \frac{\partial \bar{T}}{\partial \{\alpha_1\}} = \{0\} \quad (87)$$

$$\begin{aligned} -[D_2]^{-T} \frac{\partial \bar{T}}{\partial \{\alpha_2\}} &= [C_1^2](2[V_1]^x)[C_1^2]^Tm\{V_2\} \\ &\quad + [\Omega_1^x][C_1^2]^T([I]\{\Omega_2\} \\ &\quad + [R^x]m\{V_2\})) \end{aligned} \quad (87)$$

از طرفی از روابط سینماتیکی (21) (داریم:

$$\{\Omega_1\} = \{\omega_1\} = \{0, 0, \dot{\psi}_1\}^T \quad (88)$$

$$\{\Omega_2\} = \{0, 0, \dot{\psi}_1 + \dot{\psi}_2\}^T \quad (88)$$

$$\{V_1\} = \{0, l\dot{\psi}_1, 0\}^T \quad (88)$$

$$\{V_2\} = \begin{cases} 2l\dot{\psi}_1 \sin\psi_2 \\ 2l\dot{\psi}_1 \cos\psi_2 + l(\dot{\psi}_1 + \dot{\psi}_2) \\ 0 \end{cases} \quad (88)$$

حال با جای‌گذاری از روابط (88) در روابط (53)، (60)، (62) و (67) خواهیم داشت:

$$\begin{aligned} \frac{\partial \bar{T}}{\partial \{\Omega_1\}} &= \left\{ 0, 0, \frac{2}{3} ml^2 (\dot{\psi}_1(5 + 3\cos\psi_2) \right. \\ &\quad \left. + \dot{\psi}_2(2 + 3\cos\psi_2)) \right\}^T \end{aligned} \quad (89)$$

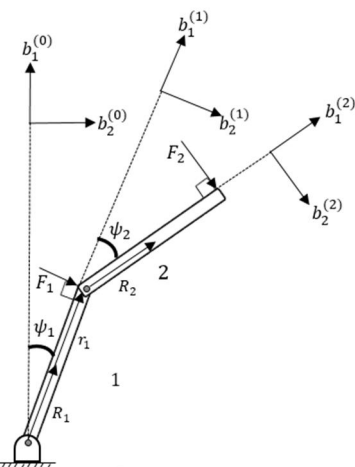


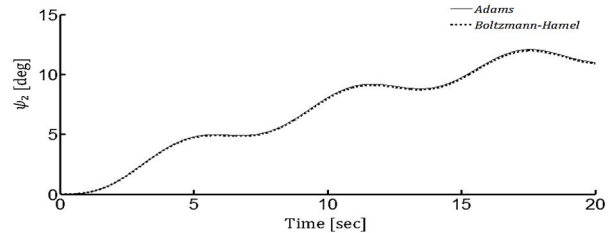
Fig. 3 A terrestrial two-link planar robot

شکل 3 یک ربات دو لینکی زمینی در حالت صفحه‌ای

پایه‌ی بدنی همان عضو	
مفصل بین عضو i ام و عضو $1-i$ ام	J_i
بردار مکان مرکز جرم عضو اول نسبت به نقطه‌ای ساکن در چارچوب مرجع اینرسی	p_1
ماتریس ستونی مختصات تعیین‌یافته	$\{q\}$
بردار مکان مرکز جرم عضو i ام نسبت به مفصل J_i	R_i
بردار مکان مفصل $i+1$ نسبت به مرکز جرم عضو i ام	r_i
ماتریس تبدیل از سرعت‌های تعیین‌یافته به شبه‌سرعت‌ها	$[S]$
انرژی جنبشی کل سیستم برحسب مختصات تعیین‌یافته و سرعت‌های تعیین‌یافته و شبه‌سرعت‌ها	T
بردار مکان متناظر با محل اعمال نیروی دلخواه F نسبت به مرکز جرم عضو اول در ربات فضایی	u
بردار مکان متناظر با محل اعمال نیروی دلخواه F_k نسبت به مفصل J_i	u_{ik}
بردار سرعت مرکز جرم عضو i ام	V_i
علائم یونانی	
ماتریس ستونی حاوی زوایای وضعیت عضو i ام نسبت به عضو $1-i$ ام	$\{\alpha_i\}$
ماتریس ستونی شبه‌سرعت‌ها	$\{\lambda\}$
ماتریس ستونی حاوی مؤلفه‌های بردار سرعت زاویه‌ای عضو i ام نسبت به چارچوب مرجع اینرسی بیان شده در پایه‌ی i ام	$\{\Omega_i\}$
ماتریس ستونی حاوی مؤلفه‌های بردار سرعت زاویه‌ای عضو i ام نسبت به عضو $1-i$ ام بیان شده در پایه‌ی i ام	$\{\omega_i\}$
بالانویس‌ها	
اپراتور تبدیل از ماتریس ستونی به ماتریس کراس	\times
ترانهاده‌ی ماتریس	T
معکوس ترانهاده‌ی ماتریس	$-T$
زیرنویس‌ها	
ربات فضایی	s
ربات زمینی	t

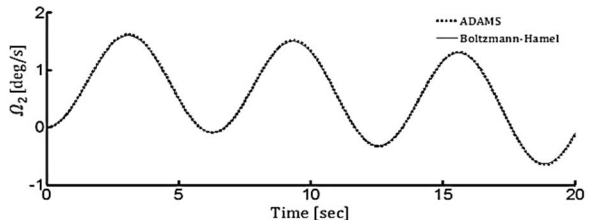
10- مراجع

- R. D. Quinn, Equations of motion for structures in terms of quasi-coordinates, *Journal Of Applied Mechanics*, Vol. 57, No. 3, pp. 745-749, 1990.
- D. T. Greenwood, *Advanced dynamics*, pp.226-305, Cambridge: Cambridge University Press , 2003.
- Leonard Meirovitch, *Methods of analytical dynamics*, pp. 157-164, New York: McGraw-Hill, 1970.
- M. Korayem, A. Shafei, Application of recursive gibbs–appell formulation in deriving the Equations of motion of N-viscoelastic robotic manipulators in 3D space using Timoshenko beam theory, *Acta Astronautica*, Vol. 83, No. 4 pp. 273-294, 2013.
- Alipour, K., Moosavian, S.A.A. and Bahramzadeh, Y., Dynamics of wheeled mobile robots with flexible suspension: analytical modelling and verification. *International Journal of Robotics & Automation*, Vol. 23, No. 4, pp. 242, 2008.
- A. F. Jahromi, R. B. Bhat,W. F. Xieintegrate, Integrated ride and handling vehicle model using lagrangian quasi-coordinates, *International Journal of Automotive Technology*, Vol. 16, No. 2, pp 239-251, 2014.
- J. M. Cameron, J. W. Book, Modeling mechanisms with nonholonomic joints using the Boltzmann–Hamel equations, *International Journal On Robotics Research*, Vol. 16, No. 1, pp. 47-59, 1997.
- J. D. Turner, Symbolic Equation of motion and linear algebra models for high-speed ground vehicle simulations, *Journal Of Guidance And Control* , Vol. 10, No. 5, pp. 8-18, 2001.
- K. Sibilski, A. Zyluk, Generation of equations of motion of flying vehicles as multi-body systems - general remarks, *guidance, Navigation And Control and Co-located Conferences*, , Vol. 56 No. 4, pp. 10-13, 2009.
- F. Talamucci, An algebraic procedure for reducing the Boltzmann–Hamel



شکل 6 صحت سنجی مختصه تعیین‌یافته اول

شکل 6 صحت سنجی مختصه تعیین‌یافته اول



شکل 7 صحت سنجی شبه‌سرعت دوم

شکل 7 صحت سنجی شبه‌سرعت دوم

8- نتیجه‌گیری

در این مقاله، الگوریتمی جهت استخراج معادلات حرکت ربات‌های زمینی و فضایی با تعداد دلخواه عضو صلب در حالت زنجیرباز ارائه گردید. با توجه به معایب روش‌های نیوتون- اویلر و لگرانژ و نیز مزایای قابل توجه مفهوم شبه مختصات و شبه‌سرعت‌ها، از فرمی از معادلات مبتنى بر معادلات بولتزمان- هامل که مقاهم مذکور در آن حضور دارد، جهت مدل‌سازی دینامیکی استفاده گردید. بهطور خاص، مشاهده گردید که این رویکرد در مدل‌سازی دینامیکی، با از میان برداشتن معایب روش‌های نیوتون- اویلر و لگرانژ (نیاز به تشکیل انرژی جنبشی و احتساب نیروهای داخلی بین اجزای سیستم)، امکان استخراج معادلات این سیستم‌ها را در حالت عمومی فراهم آورد و بدین جهت می‌تواند روشی مطلوب در ارائه الگوریتم‌های عمومی تشکیل معادلات به‌شمار آید. همچنین نقش کلیدی استخراج اتحادهای سینماتیکی در ساده‌سازی معادلات بولتزمان- هامل، از طریق اثبات سه رابطه‌ی کاربردی نشان داده شده و مورد استفاده قرار گرفت. در ادامه، نحوه‌ی استفاده از الگوریتم ارائه شده، از طریق حل یک مثال نشان داده شد و نهایتاً صحت مدل به‌وسیله‌ی مقایسه‌ی نمودارهای حاصل از شبیه‌سازی یک ربات دو لینکی دو درجه آزادی و نمودارهای به‌دست‌آمده از مدل ربات در نرم‌افزار آدامز تأیید گردید.

9- فهرست عالتم

انرژی جنبشی انتقالی عضو i ام	A_i
انرژی جنبشی دورانی عضو i ام	B_i
ماتریس ستونی حاوی بردارهای پایه‌ی بدنی عضو i ام	$\{b_i\}$
نقطه‌ی مرکز جرم عضو i ام	C_i
ماتریس دوران از پایه‌ی i ام به پایه‌ی j ام	$[C_i^j]$
ماتریس تبدیل از مشتق زوایای عضو i ام به سرعت‌های زاویه‌ای	$[D_i]$
همان عضو	
بردار نیروی دلخواه وارد شده بر عضو دلخواهی از سیستم	F
بردار نیروی دلخواه وارد شده بر عضو i ام	F_i
ماتریس اینرسی عضو i ام نسبت به مرکز جرم آن بیان شده در	$[I_i]$

- International Journal of Robust and Nonlinear Control*, Vol. 21, No. 4, pp. 373–386, 2011.
- [13] M. Lu, W. Gu, J. Liu, Z. Wang, Z. Jing, G. Qin, S. Tu, Recursive dynamic algorithm of open-chain multibody system, *Mathematical Problems in Engineering*, Vol. 14, No. 2, pp. 194–197, 2014.
- [14] J. R. Magnus, H. Neudecker, *Matrix Differential Calculus With Applications in Statistics and Econometrics*, Second Edition, pp.226-305, New York: Wiley, 1999.
- equations in nonholonomic systems, *Advances In Theoretical And Applied Mechanics*, Vol. 8, No. 1, pp. 7 – 26, 2015.
- [11] A. Khoshnood, H. M. Maryamnegari, Dynamics modeling and active vibration control of a Satellite with flexible solar panels, *Modares Mechanical Engineering*, Vol. 14, No. 16, pp. 57-66, 2015. (in Persian)
- [12] J. M. Maruskin, A. M. Bloch, The Boltzmann–Hamel equations for the optimal control of mechanical systems with nonholonomic constraints,